

ПОНИЖЕНИЕ ТЕРМИЧЕСКОЙ СТАБИЛЬНОСТИ КОМПЛЕКСОВ $V_{As}Zn_{Ga}$ В GaAs ПРИ НЕЙТРОННОМ ОБЛУЧЕНИИ

Винник Е. В., Глинчук К. Д., Гурошев В. И., Прохорович А. В.

На основе тщательного анализа индуцированных нейтронным воздействием изменений в спектрах люминесценции p -GaAs(Zn) показано, что облучение кристаллов арсенида галлия быстрыми нейтронами приводит к сдвигу реакции термического разрушения комплексов $V_{As}Zn_{Ga}$ на изолированные компоненты V_{As} и Zn_{Ga} в сторону более низких температур прогрева. Наблюдаемый эффект объясняется понижением термической стабильности комплексов $V_{As}Zn_{Ga}$ вследствие уменьшения энергии связи компонентов комплекса из-за ассоциации последними подвижными радиационными дефектами.

Введение. Одной из важнейших характеристик комплексов в полупроводниках (в частности, сформированных ближайшими соседями — вакансией мышьяка V_{As} и атомом цинка в галлиевой подрешетке Zn_{Ga} в GaAs) является их термическая стабильность [1]. Изучая влияние нейтронного облучения и последующих отжигов на люминесценцию p -GaAs, мы впервые обнаружили нетривиальный эффект понижения термической стабильности комплексов $V_{As}Zn_{Ga}$ при радиационном воздействии.¹ На радиационно-стимулированном распаде комплексов $V_{As}Zn_{Ga}$, а также на механизме, объясняющем указанное явление, мы и остановимся далее.

1. Методика

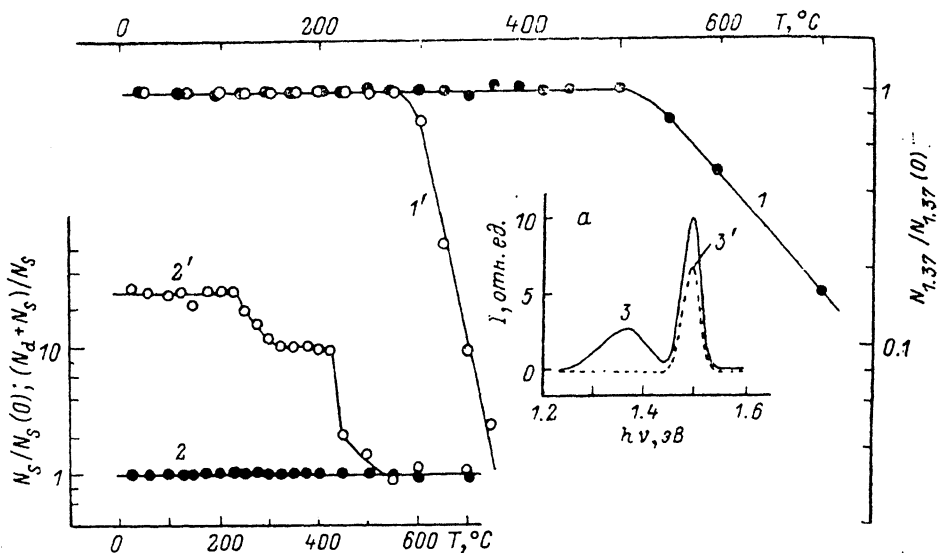
Исходными для опытов являлись легированные атомами цинка кристаллы p -GaAs. Концентрации атомов цинка в них $N_{Zn} \approx 1 \cdot 10^{18} \text{ см}^{-3}$, равновесных дырок $p_0 = 1 \cdot 10^{18} \text{ см}^{-3} \approx N_{Zn}$, «ростовых» комплексов $V_{As}Zn_{Ga}$ $N_{1.37}(0) \approx 10^{16} \text{ см}^{-3}$, s -центров безызлучательной рекомбинации электронов и дырок $N_s(0)$; коэффициент захвата электронов комплексами $V_{As}Zn_{Ga}$ $c_{n1.37}$, а s -центраторами — c_{ss} ; в исходных кристаллах s -центры доминировали в процессе рекомбинации избыточных носителей тока.

Облучение быстрыми нейтронами проводилось при $T \leq 60^\circ\text{C}$ (средняя энергия нейтронов $E \approx 2 \text{ МэВ}$, интегральная доза облучения $\Phi = 10^{15} \text{ см}^{-2}$). Средняя концентрация созданных нейтронным облучением точечных дефектов $N_d(0) \approx 10^{17} \text{ см}^{-3}$ [$N_d(0) \gg N_{1.37}(0)$], коэффициент захвата ими электронов c_{ns} .

Изохронный (длительностью 30 мин) отжиг облученных и контрольных необлученных кристаллов p -GaAs(Zn) проводился при $T \leq 700^\circ\text{C}$ в условиях, исключающих проникновение в их объем различных загрязнений, в частности атомов меди. Концентрации комплексов $V_{As}Zn_{Ga}$, s -центров и точечных радиационных дефектов в отожженных кристаллах обозначаются в дальнейшем $N_{1.37}$, N_s и N_d соответственно. Облучение и последующий отжиг облученных, а также контрольных необлученных кристаллов p -GaAs мало изменяли величину p_0 [$N_d(0) \ll N_{Zn}$].

¹ Рекомбинация электронов через комплексы $V_{As}Zn_{Ga}$ приводит к появлению полосы излучения с $h\nu_{max}$ (77 K) $\approx 1.37 \text{ эВ}$, поэтому комплексы $V_{As}Zn_{Ga}$ легко идентифицируются по спектрам люминесценции p -GaAs (см. рисунок) [2].

Люминесценция p -GaAs(Zn) возбуждалась излучением Не—Не-лазера (интенсивность возбуждения L). Изменение концентрации комплексов V_{AsZnGa} при радиационно-термическом воздействии определялось из сравнения изменений при 77 К в области линейности рекомбинации электронов и дырок ($I_{1.37}$, $I_{1.50} \sim L$) интенсивности «примесной» полосы излучения с $h\nu_{\text{max}}$ (77 К) ≈ 1.37 эВ $I_{1.37}$ ($I_{1.37} \ll L$) и интенсивности «собственной» полосы излучения с $h\nu_{\text{max}}$ (77 К) ≈ 1.50 эВ $I_{1.50}$ ($I_{1.50} \ll L$).²



Изменение нормированных концентраций комплексов V_{AsZnGa} $N_{1.37}/N_{1.37}(0)$ (1, 1'), s -центров $N_s/N_s(0)$ (2), точечных радиационных дефектов и s -центров $(N_d + N_s)/N_s$ (2') при изохронном (30 мин) отжиге необлученных (1, 2) и облученных нейтронами (1', 2') кристаллов p -GaAs(Zn). а — спектры люминесценции прогретых при 500 °C, 30 мин необлученного (3) и облученного нейтронами (3') кристаллов p -GaAs(Zn).

2. Результаты

Основные данные об изменении концентрации комплексов V_{AsZnGa} в кристаллах p -GaAs при нейтронном облучении и последующих отжигах приведены на рисунке. В нем обращает на себя внимание индуцированное нейтронным облучением существенное понижение термической стабильности комплексов V_{AsZnGa} , вследствие чего в облученных кристаллах наблюдается сдвиг к более низким температурам прогрева области уменьшения концентрации комплексов V_{AsZnGa} . При этом заметно совпадение областей пониженной термостабильности комплексов V_{AsZnGa} и аннигиляции точечных радиационных дефектов на стоках (см. рисунок).³

3. Обсуждение

Последующая интерпретация полученных результатов основывается на надежно установленных данных о типе и подвижности дефектов, вводимых нейтронным облучением в GaAs, а именно: а) быстрые нейтроны создают изолированные [их концентрация $N_d^*(0) \approx (50 \text{ см}^{-3}) \Phi \approx 5 \cdot 10^{16} \text{ см}^{-3}$] и сосредоточенные в кластерах [плотность кластеров $N_c(0) \approx (0.22 \text{ см}^{-1}) \Phi \approx 2.2 \cdot 10^{14} \text{ см}^{-3}$, их средний радиус $R \approx 100 \text{ \AA}$, число дефектов в кластере $a \approx 10^3$, концентрация дефектов в кластере $N_{dc}(0) = a/(4/3) \pi R^3 \approx 2 \cdot 10^{20} \text{ см}^{-3}$, средняя концентрация

² Очевидно, $I_{1.37} \sim c_{n_s} N_{1.37} / (c_{n_s} N_s + c_{n_d} N_d) \sim N_{1.37} I_{1.50}$, а $I_{1.50} \sim 1 / (c_{n_s} N_s + c_{n_d} N_d)$ в облученных кристаллах и $I_{1.37} \sim N_{1.37} / N_s$, а $I_{1.50} \sim 1 / N_s$ в необлученных кристаллах.

³ При построении кривой 2' предполагалось, что $c_{nd} \approx c_{ns}$; в этом случае $I_{1.50}(0, T) / I_{1.50}(\Phi, T) \approx (N_d + N_s) / N_s$ [очевидно, $N_s \approx N_s(0)$ в прогретых кристаллах; см. рисунок].

рассматриваемых дефектов $N_d^{**}(0) = aN_c(0) \simeq 2.2 \cdot 10^{17} \text{ см}^{-3}$] точечные дефекты — межузельные атомы мышьяка As_i , галлия Ga_i и вакансии мышьяка V_{As} , галлия V_{Ga} [значения $N_d^*(0)$, $N_c(0)$, $N_d^{**}(0)$ приведены для потока быстрых нейтронов $\Phi = 10^{15} \text{ см}^{-2}$; очевидно, $N_d(0) = N_d^*(0) + N_d^{**}(0)$] [²⁻⁶]; б) концентрация изолированных точечных дефектов составляет лишь небольшую ($\simeq 10-25\%$) часть от полного числа дефектов, т. е. созданные нейтронным облучением радиационные дефекты в основном сосредоточены в кластерах [^{3, 4}]; в) кластеры радиационных дефектов устойчивы при $T < 260^\circ\text{C}$ и постепенно распадаются при $T \geq 260^\circ\text{C}$: сначала (при $T \geq 260^\circ\text{C}$) происходит эмиссия вакансий мышьяка V_{As} из них, а затем (при $T \geq 460^\circ\text{C}$) — межузельных атомов As_i , Ga_i , вакансий галлия V_{Ga} [⁴]; г) изолированные межузельные атомы As_i и Ga_i подвижны при $T \geq 20^\circ\text{C}$, а изолированные вакансии V_{As} и V_{Ga} — при $T \geq 200^\circ\text{C}$ [²⁻⁶]; д) эмиттируемые из кластеров вакансии мышьяка V_{As} подвижны при $T \geq 260^\circ\text{C}$, а межузельные атомы As_i , Ga_i , вакансии галлия V_{Ga} — при $T \geq 460^\circ\text{C}$ [⁴].

Радиационно-стимулированное разрушение комплексов $V_{\text{As}}\text{Zn}_{\text{Ga}}$ может проходить, вообще говоря, вследствие двух механизмов. Первый из них связан с прямым взаимодействием созданных облучением межузельных атомов мышьяка As_i с вакансационным компонентом V_{As} комплекса $V_{\text{As}}\text{Zn}_{\text{Ga}}$ (в результате реакции $\text{As}_i + V_{\text{As}}\text{Zn}_{\text{Ga}} \rightarrow \text{Zn}_{\text{Ga}}$ комплексы $V_{\text{As}}\text{Zn}_{\text{Ga}}$ преобразуются в изолированные атомы цинка Zn_{Ga}). Второй механизм связан с радиационно-стимулированным понижением термической стабильности комплексов $V_{\text{As}}\text{Zn}_{\text{Ga}}$ вследствие уменьшения энергии связи между компонентами комплекса (облегчается процесс термической диссоциации комплексов $V_{\text{As}}\text{Zn}_{\text{Ga}}$ на изолированные компоненты V_{As} и Zn_{Ga} по реакции $V_{\text{As}}\text{Zn}_{\text{Ga}} \rightarrow V_{\text{As}} + \text{Zn}_{\text{Ga}}$).

По-видимому, первый механизм радиационно-стимулированного разрушения комплексов $V_{\text{As}}\text{Zn}_{\text{Ga}}$ не является в условиях описанного эксперимента существенным, так как рассматриваемые комплексы, с одной стороны, стабильны в области высокой подвижности изолированных межузельных атомов мышьяка и, с другой, диссоциируют в области низкой подвижности сосредоточенных в кластерах межузельных атомов мышьяка. Указанное, очевидно, связано со следующим. При используемых в опытах умеренных потоках нейтронов, создающих относительно низкие концентрации изолированных межузельных атомов мышьяка As_i , вероятность взаимодействия последних с комплексами $V_{\text{As}}\text{Zn}_{\text{Ga}}$ мала (как показывают оценки, комплексы $V_{\text{As}}\text{Zn}_{\text{Ga}}$ могут являться эффективным стоком примерно лишь для 1 % межузельных атомов мышьяка As_i , [⁶]).

Рассмотрим второй (как нам кажется, более вероятный) механизм радиационно-стимулированного разрушения комплексов $V_{\text{As}}\text{Zn}_{\text{Ga}}$.

Очевидно, термическая стабильность комплексов в полупроводниках определяется энергией связи входящих в их состав компонентов и подвижностью последних. Тогда, несомненно, обнаруженный эффект понижения термической стабильности комплексов $V_{\text{As}}\text{Zn}_{\text{Ga}}$ при нейтронном облучении обусловлен, с одной стороны, стимулированным облучением понижением энергии связи комплексов $V_{\text{As}}\text{Zn}_{\text{Ga}}$ и, с другой, повышением подвижности (если первоначально она недостаточно велика) одного (либо обоих) из компонентов комплекса $V_{\text{As}}\text{Zn}_{\text{Ga}}$ вследствие возможных различных процессов радиационно-ускоренной диффузии [^{7, 8}].⁴

Указанное понижение энергии связи комплексов $V_{\text{As}}\text{Zn}_{\text{Ga}}$ U ($U \simeq -e^2/\epsilon r$ [¹]) имеет место вследствие ослабления кулоновского взаимодействия между компонентами комплекса $V_{\text{As}}\text{Zn}_{\text{Ga}}$ и может быть обусловлено, вообще говоря, двумя эффектами: а) деформацией галлиевой и мышьяковой подрешеток $p\text{-GaAs}$ при нейтронном облучении, т. е. увеличением расстояния r ($r = r_0 + \Delta r$, $r = r_0$ при $\Phi = 0$) между компонентами комплекса $V_{\text{As}}\text{Zn}_{\text{Ga}}$ (очевидно, это возможно,

⁴ Далее предполагается, что скорости миграции вакансий мышьяка V_{As} (либо атомов цинка Zn_{Ga}) не являются ограничивающими факторами в определении термической стабильности комплексов $V_{\text{As}}\text{Zn}_{\text{Ga}}$ в облученных кристаллах $p\text{-GaAs}$, поскольку вакансии мышьяка V_{As} обладают, как отмечалось, достаточно высокой подвижностью при относительно низких температурах.

даже если концентрация радиационных дефектов ниже концентрации комплексов $V_{As}ZnGa$ [3, 5, 9, 10]; б) появлением вблизи комплексов $V_{As}ZnGa$ повышенной концентрации возникающих при нейтронном облучении $p\text{-GaAs}(Zn)$ заряженных радиационных дефектов (очевидно, это возможно, если концентрация последних превышает концентрацию комплексов $V_{As}ZnGa$), например вакансий V_{As}^+ , V_{Ga}^+ , межузельных атомов Ga^+ ; указанное имеет место вследствие миграции радиационных дефектов к комплексам $V_{As}ZnGa$ (будучи подвижными, они притягиваются к полюсам комплексов $V_{As}ZnGa$), так как при используемых относительно небольших потоках нейтронов прямая генерация радиационных дефектов вблизи комплексов $V_{As}ZnGa$ маловероятна.

Несомненно, первый эффект играет второстепенную роль в наблюдаемом понижении энергии связи (термической стабильности) комплексов $V_{As}ZnGa$, так как даже достаточно высокие потоки нейтронов приводят к весьма слабой деформации решетки GaAs (как показывают оценки, $\Delta r/r_0 \approx (10^{-21} \text{ см}^2) \Phi$ [3, 5, 9, 10]), а последующий отжиг облученных кристаллов вообще сопровождается ее значительным уменьшением и даже исчезновением ($\Delta r \rightarrow 0$) [5]. Следовательно, наблюдаемое радиационно-стимулированное понижение энергии связи (термической стабильности) комплексов $V_{As}ZnGa$ в основном определяется последним эффектом, так как наблюдается определенная корреляция изменений величин $N_{1,37}$ и N_d с температурой отжига, а именно уменьшение концентрации комплексов $V_{As}ZnGa$ происходит в области температур, в которой значительное число точечных дефектов уже аннигилировало на стоках, в частности на комплексах $V_{As}ZnGa$ (см. рисунок). При этом для уменьшения энергии связи комплексов $V_{As}ZnGa$ достаточен подход к ним созданных нейтронным облучением изолированных дефектов Ga_1 , V_{As} , V_{Ga} и эмиттируемых из кластеров вакансий мышьяка V_{As} , так как пониженная термостабильность комплексов $V_{As}ZnGa$ наблюдается в области температур, в которой еще не происходит эмиссия из кластеров радиационных дефектов As_1 , Ga_1 , V_{Ga} .

Заключение. Наблюдаемый индуцированный нейтронным облучением эффект понижения термической стабильности (энергии связи) комплексов $V_{As}ZnGa$ в GaAs представляет значительный интерес для понимания физических процессов взаимодействия радиационных и первичных дефектов в полупроводниках [2-10]. Указанный эффект (наряду с иными эффектами [11]) может играть определенную роль в изменении характеристик полупроводниковых приборов при их облучении быстрыми частицами [9].

Список литературы

- [1] Крегер Ф. Химия несовершенных кристаллов. М., 1969. 630 с.
- [2] Глинчук К. Д., Лукат К., Прохорович А. В. // Оптоэлектроника и полупроводниковая техника. Киев. 1982. № 1. С. 39-54.
- [3] Coates R., Mitchell E. W. J. // Adv. Phys. 1975. V. 24. N 5. P. 593-644.
- [4] Kolchenko T. I., Lomako V. M. // Rad. Eff. 1980. V. 46. N 1-2. P. 97-103.
- [5] Колин Н. Г., Бублик В. Т., Освенский В. Б., Ярмолюк Н. И. // Физ. и хим. обр. матер. 1987. № 3. С. 28-33.
- [6] Collins J. D., Gredhill G. A., Murray R., Nandhra P. S., Newman R. C. // Phys. St. Sol. (b). 1989. V. 151. N 2. P. 469-477.
- [7] Емцев В. В., Машовец Т. В. Примеси и точечные дефекты в полупроводниках. М., 1981. 248 с.
- [8] Вавилов В. С., Кив А. Е., Ниязова О. Р. Механизм образования и миграции дефектов в полупроводниках. М., 1981. 368 с.
- [9] Вавилов В. С., Ухин Н. А. Радиационные эффекты в полупроводниках и полупроводниковых приборах М., 1969. 308 с.
- [10] Коршунов Ф. П., Курилович Н. Ф. // ФТП. 1978. Т. 12. В. 7. С. 1438-1439.
- [11] Андреев В. М., Гусинский Г. М., Калиновский В. С. // ФТП. 1988. Т. 22. В. 8. С. 1391-1395.